

1.

- (a) 可使逆小波轉換從 0 至 ∞ 變為 0 至 b_0
 (b) generating function 只要被決定，mother wavelet 和 scaling function 皆可決定

2.

(a) 設 $\psi(t) = \frac{d^7}{dt^7} e^{-\pi t^2}$

Let $q \leq p$

$$m_q = \int_{-\infty}^{\infty} t^q \psi(t) dt = \psi_q(0)$$

$$\psi_q(f) = FT(t^q \psi(t)) = \frac{1}{(-j2\pi)^q} \frac{d^q}{dt^q} (j2\pi f)^p e^{-\pi f^2}$$

$$m_q = \frac{1}{(-j2\pi)^q} \frac{d^q}{dt^q} (j2\pi f)^p e^{-\pi f^2} \Big|_{f=0}$$

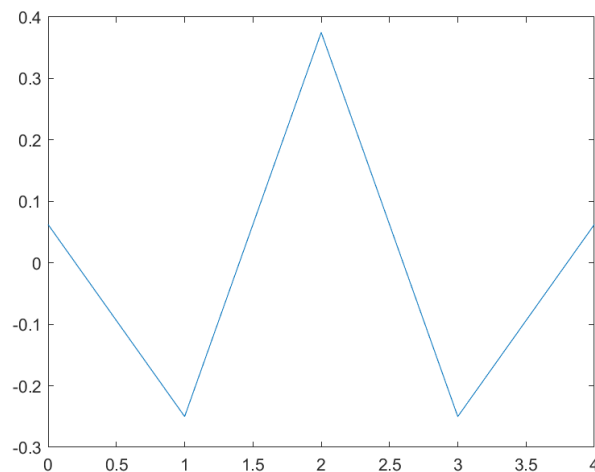
$$= \left\{ \frac{(j2\pi f)^p}{(-j2\pi)^q} \left[\frac{p!}{(p-q)!} f^{p-q} e^{-\pi f^2} + \text{remained terms} \right] \right\} \Big|_{f=0}$$

If $q < p$, $m_q = 0$, vanish moment = p

$p = 7$, vanish moment = 7

- (b) Coiflet 每 6 個點，vanishing moment 會多 1，18-Coiflet 的 vanishing moment = 3

- (c) $h[n]$ 圖形如下圖所示



3. 1-D discrete wavelet transform 即分別做 Low Pass 與 High Pass 的 Convolution，假設輸入訊號 $x[n]$ 長度為 N ，filter $g[n]$ 、 $h[n]$ 長度皆為 L ，則複雜度為 $\frac{3}{2}(N + L - 1) \log_2(N + L - 1)$

若 $N \gg L$ 時，可使用 Sectioned Convolution，將 $x[n]$ 分成若干段，每段長度皆為 N_1 ，則總共可分為 $S = N/N_1$ 段，因此複雜度可寫作

$$\frac{3}{2}S(N_1 + L - 1) \log_2(N_1 + L - 1) \approx \frac{3}{2}N \log_2(N_1)$$

由於 $\log_2(N_1)$ 為常數，因此複雜度僅與 N 有關，即 $\theta(N)$

4.

- (a) 小波轉換可分離高頻與低頻成分，由於邊緣屬於高頻成分，因此可針對高頻成分進行方向的分析，低頻成分則不考慮，以此達到降低運算量的效果。
- (b) 小波轉換可將影像特徵由低尺度到高尺度分離，即 Multi-scale 的方法，由最低尺度特徵判斷是否有特定物件的輪廓（大特徵），再依序往高尺度特徵尋找更細微的條件（小特徵），以此大幅降低運算量。
- (c) 一訊號若直接使用 Low Pass Filter，其高頻資訊可能會被濾除，小波轉換可將高頻與低頻成分分離，由於訊號高頻成分的頻率響應較大，雜訊的頻率響應較小，由此可篩選出 Edge Region，以此濾除雜訊，且保留原訊號的高頻成分。

5.

- (a) QMF 需滿足 $G^2(z) - G^2(-z) = 2z^k$

$$g[0] = 1/2, g[1] = b, g[2] = c$$

$$G(z) = a + bz^{-1} + cz^{-2}$$

$$G(-z) = a - bz^{-1} + cz^{-2}$$

$$\det(H_m(z)) = G^2(z) - G^2(-z) = 4abz^{-1} + 4bcz^{-3} = 2z^k$$

$$\text{因此 } k = -1, c = 0, \text{ 又 } a = 1/2, b = 1$$

$$\begin{cases} b = 1 \\ c = 0 \end{cases}$$

- (b) Orthonormal 須滿足 $G_1(z)G_1(z^{-1}) + G_1(-z)G_1(-z^{-1}) = 2$

$$\text{其中 } G_1(z) = G(z^{-1})$$

$$g[0] = 1/2, g[1] = b, g[2] = c$$

$$G_1(z) = a + bz + cz^2$$

$$G_1(-z) = a - bz + cz^2$$

$$\begin{aligned} G_1(z)G_1(z) &= a^2 + b^2 + c^2 + abz + acz^2 + abz^{-1} + bcz + acz^{-2} + bcz^{-1} \\ &= a^2 + b^2 + c^2 + b(a+c)(z + z^{-1}) + ac(z^2 + z^{-2}) \end{aligned}$$

$$\det(H_m(z)) = G_1(z)G_1(z^{-1}) + G_1(-z)G_1(-z^{-1})$$

$$= G_1(z)G(z) + G_1(-z)G(-z^{-1}) = 2(a^2 + b^2 + c^2) + 2ac(z^2 + z^{-2}) = 2$$

$$\text{因此 } c = 0, \text{ 又 } a = 1/2, b = \frac{\sqrt{3}}{2}$$

$$\begin{cases} b = \frac{\sqrt{3}}{2} \\ c = 0 \end{cases}$$

6.

- (a) Symlet 的 $g[n]$ 最大值在中間，進行小波轉換時，影像不至於過度偏移。
 (b) Coiflet 不僅考慮 Mother wavelet 的 Vanishing Moment，Scaling Function 也考慮進去，使得 t 在 $1 \leq k \leq p$ 之間為 Orthogonal

7.

- (a) 建立 Discrete Daubechies Wavelet Transform 的 $g[n]$ 、 $h[n]$ 、 $g_1[n]$ 及 $h_1[n]$ ，假設 case 為 $2p$ -point case：

$$(1) \text{ 建立 } P(y) = \sum_{k=0}^{p-1} C_k^{p-1+k} y^k$$

$$C_k^{p-1+k} = \frac{(p-1+k)!}{k!(p-1)!}$$

$$(2) P_1(z) = P\left(\frac{2-z-z^{-1}}{4}\right) = P(0.5 - 0.25z - 0.25z^{-1})$$

$(0.5 - 0.25z - 0.25z^{-1})^k$ 可使用 $[-0.25, 0.5, -0.25]$ convolution 得到各冪次計算後進行加總，得到 $P_1(z)$

(3) 計算 $z^k P_1(z)$ 的根，可使用 MATLAB 的 roots 函式得到

(4) 得到根後，分別取絕對值，小於 1 者

做為 $P_2(z) = (z - z_1)(z - z_2) \dots$ 的 z_1, z_2, \dots

(5) 求出 $G_0(z) = (1+z)^p P_2(z)$ ， $(1+z)^p$ 及 $P_2(z)$ 可分別由 convolution 得到後，兩者再使用 convolution 相乘

$$g_0[n] = Z^{-1}\{G_0(z)\}$$

(6) 標準化 $g_1[n] = \frac{g_0[n]}{\|g_0\|}$ ，由於有複數問題，因此需取 $\text{real}()$ ， $g_1 =$

$\text{real}(g_0 / \text{norm}(g_0))$;

(7) 最後按照 $g[n] = g_1[-n]$ 、 $h[n] = (-1)^n g[2p-1-n]$ 、 $h_1[n] = h[-n]$ 的規則
 求出 $g[n]$ 、 $h[n]$ 、 $g_1[n]$ 及 $h_1[n]$

(8) 題目要求 6-point，可得 Daubechies wavelet list

$$g[n] = [0.035226, -0.085441, -0.13501, 0.45988, 0.80689, 0.33267]$$

$$h[n] = [0.33267, -0.80689, 0.45988, 0.13501, -0.085441, -0.035226]$$

$$g_1[n] = [0.33267, 0.80689, 0.45988, -0.13501, -0.085441, 0.035226]$$

$$h_1[n] = [-0.035226, -0.085441, 0.13501, 0.45988, -0.80689, 0.33267]$$

(b) 進行 Daubechies Wavelet Transform

- (1) 計算 $v1L$ 和 $v1H$ ，分別對其進行與 $g[n]$ 及 $h[n]$ 的 convolution，再進行 $M=2$ 的 downsampling
- (2) 計算 $x1L$ 和 $x1H1$ ，將 $v1L$ 分別進行與 $g[n]$ 及 $h[n]$ 的 convolution，再進行 $M=2$ 的 downsampling
- (3) 計算 $x1H2$ 和 $x1H3$ ，將 $v1H$ 分別進行與 $g[n]$ 及 $h[n]$ 的 convolution，再進行 $M=2$ 的 downsampling
- (4) 結果圖如下圖所示

Daubechies wavelet transform



(c) 進行 Inverse Daubechies Wavelet Transform

- (1) 對 X1L 及 X1H1 進行 $M=2$ 的 upsampling 後，再分別用 $g_1[n]$ 及 $h_1[n]$ 進行 convolution 並加總，得到 x_0
- (2) 對 X1H2 及 X1H3 進行 $M=2$ 的 upsampling 後，再分別用 $g_1[n]$ 及 $h_1[n]$ 進行 convolution 並加總，得到 x_1
- (3) 對 x_0 和 x_1 進行 $M=2$ 的 upsampling 後，再分別用 $g_1[n]$ 及 $h_1[n]$ 進行 convolution 並加總，得到新影像 x_result
- (4) 由於還原後的影像，四周會比原本的影像多出 p 個像素點，因此僅需保留 $[p:width - p, p:height - p]$ 的部分
即 $x = x_result(p:end-p,p:end-p);$
- (5) 結果圖如下圖所示

inverse Daubechies wavelet transform



Bonus:

若 g_k 為低頻，則 $(-j)^k g_k$ 為低頻，經離散時間傅立葉轉換後，最大能量為在 $\frac{1}{4}$